側壁に粗度を設置した湾曲流れの平均流特性

徳山高専 正会員 〇 渡辺 勝利

正会員 佐賀 孝徳

山口大学 正会員 朝位 孝二

1. はじめに

河川の湾曲部は、河岸の破壊や顕著な河床洗掘や堆積が生ずるため、洪水時には弱点となりやすい、湾曲部の過度な洗掘、堆積を緩和するには、水衝部への高速流や遠心力に起因する二次流れの制御が必要であり、これまでにも様々な形態の粗度を河床や側壁に設置することにより、湾曲流れの制御に関する研究が進められている 1).2),3),4).

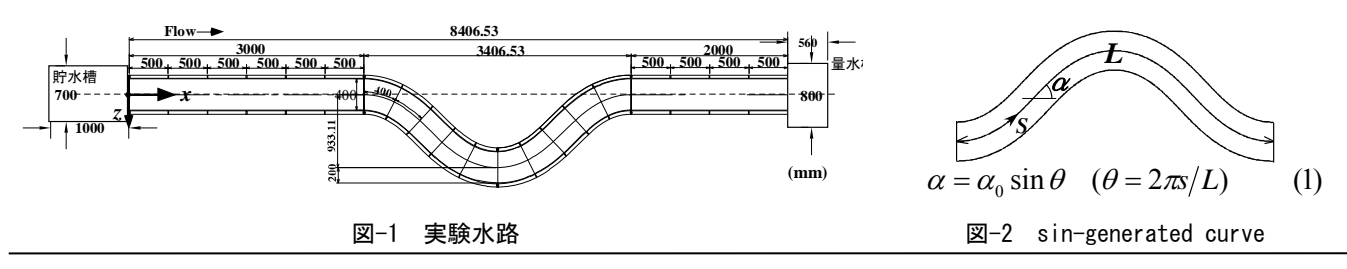
筆者は、これまでにブランチブロックの水理特性に関する検討を進め、そのブロックの施工表面に現れるジグザグ状の粗度が流れ場の形成に重要な役割を果たしていることを明らかにした 5). 本研究ではジグザグ状の粗度を水路湾曲部の側壁に設置し、平均流速分布に及ぼす影響について検討した.

2. 実験装置および方法

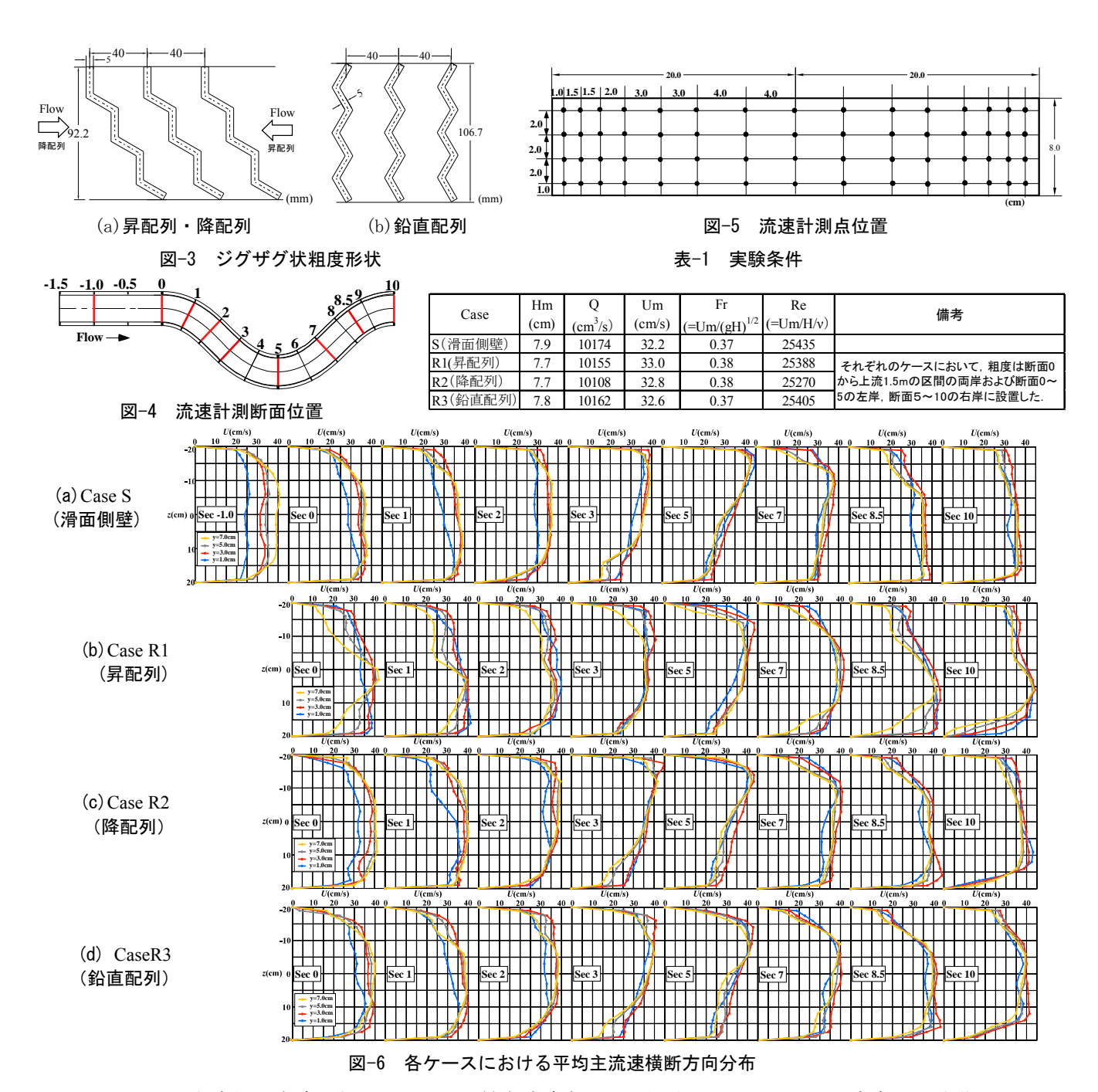
実験では、図-1 に示すような直線部と湾曲部から構成された開水路を用いた. 水路幅は 40cm , 高さは 25cm であり、直線部の長さは上流部が 3m, 下流部が 2m である. 湾曲部の中心線形には図-2 および式 (1) に示すような sin-generated curve 6 (s:水路中心線上距離、曲線長 L:4m, 最大偏角 α_0 :40 $^\circ$) を採用した. 水路勾配は水平とした. 本水路の側壁に図-3 に示すような、厚さ 5mm のアクリル樹脂板で作成したジグザグ状の粗度を直線部および湾曲部の側壁面に等間隔 (4cm) で設置した. 実験では、流速計測および水面形計測を行った. 流速計測には 2 成分の電磁流速計 (KENEK VP2500) を使用した. 流速計測断面は図-4 に赤実線で示されている. また、計測位置は図-5 に示すように、1 断面につき 60 ポイントとし、1 点につき 40 秒間の平均流速を計測した. 実験条件は表-1 に示すとおりである.

3. 実験結果および考察

図-6(a)には、側壁が滑面(Case S)(以下、滑面側壁と呼称)における主流速分布を示している. 直線部断面-1.0m では水路中心線に対してほぼ対称となる分布を示すが、湾曲部入口付近の断面 0、断面 1 では、相対的に右岸側が 高速となる. 断面 3, 断面 5 では左岸側が高速となり, 最大流速点が側壁の極近傍に出現している. 断面 7 では, 左岸の高速域が右岸方向に移動し、断面 8.5、断面 10 では右岸側が高速となる分布を呈している. このように、滑 面側壁流れでは、高速流が内岸を経由して流下している。図-6(b)の昇配列(Case R1)における主流速分布では、 断面 0 において水表面付近の低速化が顕著であり、この低速化を補うために底壁側、特に側壁と底壁の隅角付近が 高速となっている、断面3では水表面付近でほぼ対象となる流速度分布を呈するが、それ以降では左岸近傍が加速 され、断面5では左岸付近では低速であるが、それ以下では高速となる分布を呈している。断面8.5、断面10では 右岸側が高速となる分布となっている. 図-6(c)の降配列(Case R2)における主流速分布では、断面0において右 岸側の高速化が上記の2ケースに比べてやや緩和されている. 側壁近傍の半水深以下 (y=1cm, 3cm) の流速分布で は2つの変曲点がある特有の流速分布が認められる. 断面1ではやや右岸が高速となるが, 断面2では, 相対的に 右岸側が高速となり、断面 3、断面 5 への流下に伴いその傾向が顕著となる。断面 5 では滑面側壁流れに比較して 側壁付近の流速が低減している傾向が認められるが、昇配列と比較して水深方向に流速分布が一様化している.断 面 7 では、高速域が水路中央方向へ移動し、断面 8.5 では右岸側壁付近が高速となっている. 断面 10 では最大流速 点が水路中央方向へ移動している. 図-6(d)は、鉛直配列(Case R3)における主流速分布を示している. 断面0で は、相対的に右岸側壁側が高速となっているが、側壁近傍の流速は滑面側壁のそれよりも減少している. また、断



キーワード 湾曲流,ジグザグ粗度,二次流,流れの制御 連絡先 〒745-8585 山口県周南市学園台 TEL0834-29-6326



面 3, 断面 5 では左岸側が高速となっているが,最大流速点は滑面側壁のそれと比べて対岸方向へ移動している. 断面 7, 断面 8.5 では,左岸側の顕著な低速化に伴い水路中央部が高速となり,断面 10 では右岸側壁近傍の低速化によって台形状の流速分布を呈している.

4. おわりに

湾曲水路の側壁にジグザグ状の粗度を3種類の配列で設置し、それぞれの流れ場の平均流特性を検討した。その結果、昇配列では、側壁付近の主流速が低減される効果が認められたが、その効果が水表面付近の主流速に留まることが明らかとなった。降配列および鉛直配列は、内岸側壁付近の主流速の低減および最大流速の対岸方向への移動に寄与することが明らかとなった。

謝辞:本研究は、中国建設弘済会の平成25年度技術開発支援事業の援助を受けた.ここに記して謝意を表する.

参考文献:

1) Odgaard, A.J et.al: River-Bend Bank Protection by Submerged Vanes, J. Hydraulic. Eng., ASCE, Vol.109, No.8, pp.1161-1173, 1983., 2) 福岡ら:ベーンエの設置された湾曲部の流れと河床形状の解析,土木学会論文集,No.447/II-19,pp.45-54,1992., 3) 関根ら:斜め桟粗度による河川湾曲部の二次流制御に関する研究,土木学会論文集,No.558/II-38, pp.61-70, 1997., 4) 富永ら:円柱粗度による湾曲部河道変動の制御に関する実験的研究,水工学論文集,第 45 巻,pp769-774, 2001., 5) 渡辺ら:ブランチブロック護岸模型の枝材配列形状による流れ構造の特徴,土木学会水工学論文集,第 54 巻,pp.1045-1050, 2010., 6) Langbein, W. B. and L. B. Leopold River Meanders –Theory of Minimum Variance. Geological Survey Professional Paper 422-H. United States Government Printing Office, Washington, D. C., 1966.